



ОБЪЕДИНЕННЫЙ  
ИНСТИТУТ  
ЯДЕРНЫХ  
ИССЛЕДОВАНИЙ  
ДУБНА

A-50

26/2-77

Б.А.Аликов, Я.Ваврышук, К.Я.Громов, В.Жук,  
Р.Ион-Михай, Т.А.Исламов, А.Караходжаев,  
Э.Крупа, Г.И.Лизурей, М.М.Маликов,  
Т.М.Муминов, И.Холбаев

10/1-77

P6 - 10042

КВАНТОВЫЕ ХАРАКТЕРИСТИКИ  
НИЗКОВОЗБУЖДЕННЫХ СОСТОЯНИЙ  $^{153}\text{Tb}$

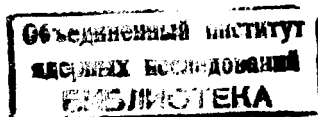
**1976**

P6 - 10042

Б.А.Аликов,<sup>1</sup> Я.Ваврышук,<sup>2</sup> К.Я.Громов, В.Жук<sup>2</sup>,  
Р.Ион-Михай, Т.А.Исламов,<sup>3</sup> А.Караходжаев,<sup>3</sup>  
Э.Крупа,<sup>2</sup> Г.И.Лизурей, М.М.Маликов,<sup>4</sup>  
Т.М.Муминов,<sup>1</sup> И.Холбаев<sup>1</sup>

КВАНТОВЫЕ ХАРАКТЕРИСТИКИ  
НИЗКОВОЗБУЖДЕННЫХ СОСТОЯНИЙ  $^{153}\text{Tb}$

Направлено в "Известия АН СССР"



<sup>1</sup> Самаркандский государственный университет.

<sup>2</sup> Университет М.Кюри-Склодовской, Люблин, ПНР.

<sup>3</sup> Ташкентский государственный университет.

<sup>4</sup> ИЯФ АН УзССР.

## 1. ВВЕДЕНИЕ

Последние, наиболее полные данные о распаде  $^{153}\text{Dy} \xrightarrow{6,8 \text{ ч}} ^{153}\text{Tb}$  опубликованы в работе Зубера и др.<sup>/1/</sup>. На основе исследований спектров  $\gamma$ -лучей и конверсионных электронов, измеренных на полупроводниковых детекторах,  $\gamma-\gamma$ -совпадений и данных более ранних работ<sup>/2,3/</sup> авторы<sup>/1/</sup> предлагают схему распада  $^{153}\text{Dy}$ , содержащую 50 возбужденных состояний.

В работе<sup>/1/</sup> отмечается возможность существования в ядре  $^{153}\text{Tb}$  состояний разной деформации. Основное состояние ( $5/2^+$ ) и состояния 80,7 кэВ ( $7/2^+$ ) и 163 кэВ ( $11/2^-$ ) интерпретируются как сферические состояния  $d_{5/2}$ ,  $g_{7/2}$  и  $h_{11/2}$ , а состояния 147,5 кэВ ( $3/2^+$ ), 240,4 кэВ ( $5/2^+$ ), 389 кэВ ( $7/2^+$ ), 572,1 кэВ ( $9/2^+$ ) – как уровни ротационной полосы  $3/2^-$ <sup>/4/1/</sup>.

Для обоснования этого предположения в настоящее время не хватает экспериментальных данных: полностью отсутствуют сведения о свойствах ядра  $^{153}\text{Tb}$  из ядерных реакций, значения спинов и четностей для большинства уровней, наблюдаемых при распаде  $^{153}\text{Dy}$ , определены неоднозначно и т.д.

В настоящей работе изучались корреляции направлений  $\gamma$ -лучей и спектры конверсионных электронов при радиоактивном распаде  $^{153}\text{Dy}$  с целью определения значений спинов низковозбужденных состояний  $^{153}\text{Tb}$  и уточнения мультипольностей переходов, связывающих эти состояния.

## 2. ИЗМЕРЕНИЯ И ИХ РЕЗУЛЬТАТЫ

### 2.1. Радиоактивные источники $^{153}\text{Dy}$

Радиоактивные ядра  $^{153}\text{Dy}$  получались в реакции глубокого расщепления тантала протонами с энергией 660 МэВ на внутреннем пучке синхроциклотрона ОИЯИ. Из облученной мишени хроматографическим методом выделяли фракцию изотопов Dy с последующим разделением её по массам на электромагнитном масс-сепараторе. При этом ионы  $^{153}\text{Dy}$  внедрялись в Al фольгу толщиной 5 мкм, которая затем растворялась в водном растворе HCl. Радиоактивный раствор помешался в полиэтиленовую ампулу размерами  $\phi 3 \times 10$  мм. Полученные таким образом источники  $^{153}\text{Dy}$  использовались в измерениях  $\gamma$ - $\gamma$  угловых корреляций.

Источники для бета-спектрографов приготавливали методом электролитического осаждения фракции изотопов Dy на платиновую нить диаметром 0,1 мм.

### 2.2. Измерения $\gamma$ - $\gamma$ угловых корреляций

Измерения  $\gamma$ - $\gamma$  угловых корреляций проводились на корреляционной установке с двумя Ge(Li)-детекторами /4/ и на установке с Ge(Li)- и двумя сцинтилляционными детекторами /5/. Установка с двумя Ge(Li)-детекторами ( $V = 35 \text{ см}^3$  и  $40 \text{ см}^3$ ,  $\Delta E \approx 3 \text{ кэВ}$  на линии 1332 кэВ  $^{60}\text{Co}$ ) работала совместно с ЭВМ "Минск-2" в двухмерном режиме с цифровыми окнами. Радиоактивный источник помещался на расстоянии 10 см от обоих детекторов. Во второй установке применялись Ge(Li) -

детектор ( $V = 45 \text{ см}^3$ ,  $\Delta E \approx 4,5 \text{ кэВ}$  на линии 1332 кэВ  $^{60}\text{Co}$ ) и два сцинтилляционных детектора с кристаллами NaI(Tl) размерами  $\phi 40 \times 40$  мм и фотоумножителями типа ФЭУ-93. Спектры совпадений регистрировались в разделенной на участки памяти 1024-канального анализатора. Энергетические окна выбирались с помощью двух дифференциальных дискриминаторов в сцинтилляционных трактах. Угловые позиции детекторов в обеих установках менялись циклически:  $90-135-180^\circ$ ,  $180-135-90^\circ$ ,  $90-135^\circ$  . . . . . с временем экспозиции 100 с.

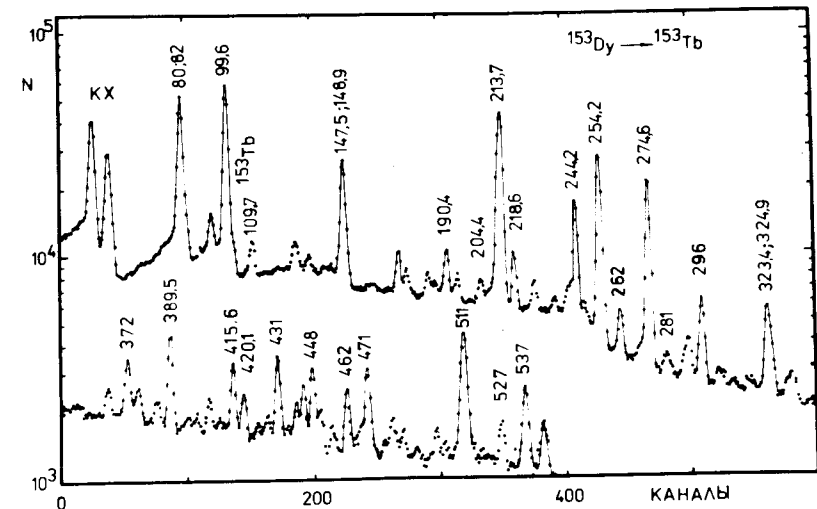


Рис. 1. Гамма-спектр  $^{153}\text{Dy}$ , измеренный на  $\gamma$ -спектрометре с Ge(Li)-детектором ( $V = 40 \text{ см}^3$ ).

Чрезвычайно сложный спектр  $\gamma$ -лучей, сопровождающих распад  $^{153}\text{Dy}$  (рис. 1), и небольшое число интенсивных  $\gamma$ -каскадов создают трудности для точных корреляционных измерений. Используя пять источников, мы смогли определить угловое распределение только десяти наиболее четко выделяемых в совпадениях каскадов. Результаты измерений представлены в табл. 1.

Таблица 1

Значения коэффициентов  $A_2$  и  $A_4$  функций угловых  $\gamma$ - $\gamma$  корреляций в ядре  $^{153}\text{Tb}$

Каскад (кэВ)	$A_2$	$A_4$
82,5 - 80,7	-0,016±0,036	-0,047±0,072
244,2 - 80,7	-0,021±0,020	-0,062±0,040
274,6 - 99,6	+0,208±0,020	-0,036±0,038
296,2 - 213,8	-0,155±0,044	-0,055±0,086
323,5 - 213,8	-0,150±0,047	-0,005±0,091
415,6 - 244,2	-0,384±0,048	+0,009±0,085
190,4 - 254,2	-0,150±0,028	+0,026±0,060
471,1 - 254,2	-0,102±0,060	+0,032±0,099
(147,5+148,9) - 93,0	-0,024±0,032	+0,020±0,061
148,9-(93)-147,5	-0,083±0,041	+0,057±0,074

Значения коэффициентов  $A_k$  для каскадов (80,7 - 82,5) кэВ и [93 - (147,5±148,9)] кэВ получены только в измерениях на установке с двумя  $\text{Ge}(\text{Li})$ -детекторами, так как накопление в источнике дочернего изотопа  $\text{Tb}$  с очень интенсивными каскадными излучениями в области (80÷100) кэВ требовало точного отбора  $\gamma$ -лучей по обоим каналам. Для определения коэффициентов  $A_k$  остальных каскадов использовались результаты измерений на обеих установках. При этом в случае каскадов (213,7 - 296,2) кэВ, (213,7 - 323,5) кэВ и (415,6 - 244,2) кэВ основной вклад в конечный результат дали измерения с  $\text{Ge}(\text{Li})$  - 2  $\text{NaI}(\text{Tl})$ -датчиками. Во всех измерениях регистрировались спектры совпадений для углов 90, 135 и 180° в диапазоне энергий 50 - 520 кэВ. При использовании установки с двумя  $\text{Ge}(\text{Li})$ -датчиками цифровые окна устанавливались на фотопиках (80 + 82) кэВ, 93 кэВ, 99,6 кэВ, (147+148) кэВ, 213 кэВ, 244 кэВ и на комптоновском распределении в районе 115 кэВ и 180 кэВ. Положение

энергетических окон в сцинтилляционных трактах, а также некоторые спектры совпадений приведены на рис. 2.

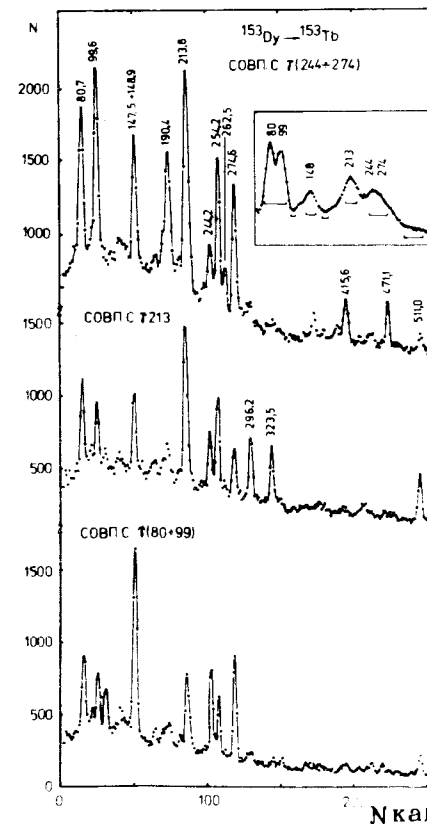


Рис. 2. Некоторые спектры  $\gamma$ -совпадений. На вставке отмечены положения энергетических окон в  $\gamma$ -спектре  $\text{NaI}(\text{Tl})$ -спектрометра.

При вычислении коэффициентов  $A_k$  учитывались совпадения посторонних каскадов, случайные совпадения, делались поправки на центровку источника, а также на эффективности и телесные углы детекторов. Для каскадов (213 - 323,5) кэВ и (213 - 296,2) кэВ в силу недостаточного энергетического разрешения применяемых детекторов остались неучтеными совпадения от каскадов (204 - 324,8) кэВ и (190 - 295,8) кэВ, соответ-

венно. Однако это не вносит существенных искажений в окончательные результаты, так как вклады этих совпадений, оцененные по интенсивностям  $\gamma$ -переходов /1/, не превышают 4%.

### 2.3. Исследования спектров электронов внутренней конверсии

Спектры конверсионных электронов изучались с помощью бета-спектрографов с постоянным однородным магнитным полем /6/. В настоящей работе представлены результаты исследования спектров ЭВК в диапазоне энергий 10 - 400 кэВ, необходимые для совместного анализа с результатами изучения  $\gamma$ - $\gamma$  угловых корреляций. Результаты исследования спектров ЭВК в области больших энергий будут даны в более поздней нашей публикации. Для регистрации электронов использовались фотопластинки типа НИКФИ - 50. Фотометрирование фотопластинок проводилось на автоматическом микрофотометре, сочененном с ЭВМ "Минск-2" /7/. Энергетическое разрешение спектрографов составляло от 0,01 до 0,07%.

Некоторые участки полученных спектров представлены на рис. 3. Так как все измерения проводились с фракцией Dy, в спектрах присутствуют конверсионные линии изотопов  $^{155}\text{Dy}$  и  $^{157}\text{Dy}$ , а также линии дочерних изотопов  $^{153}\text{Tb}$  и  $^{155}\text{Tb}$ . При обработке спектров особое внимание обращалось на определение отношений интенсивностей ЭВК на L-подоболочках. Для многих переходов интенсивности этих электронов определены впервые. Интенсивности электронов нормированы относительно перехода 99 кэВ так, чтобы при интенсивностях  $\gamma$ -переходов, приведенных в работе /1/, коэффициент  $a_k$  (99 кэВ) эксп. соответствовал чистому M1 переходу (из соотношений  $L_I : L_{II} : L_{III}$  следует  $\delta^2(99) = 0,009$ ). Вычисленные затем значения коэффициентов  $a_k$  использовались для определения мультипольностей других переходов (рис. 4). Коэффициенты смеси  $\delta^2$  определялись из соотношений ЭВК на L-подоболочках. Полученные

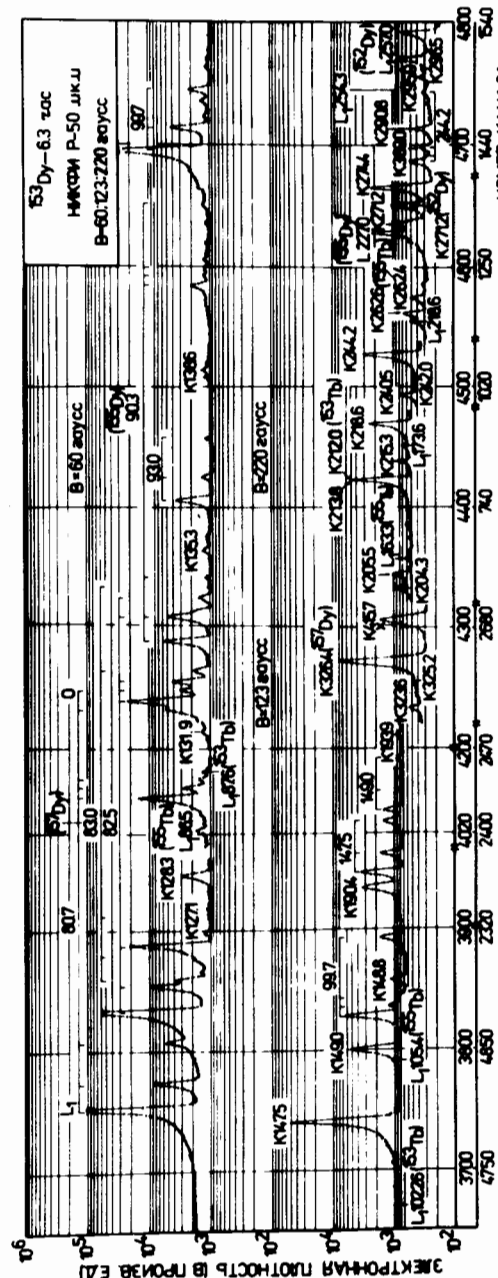
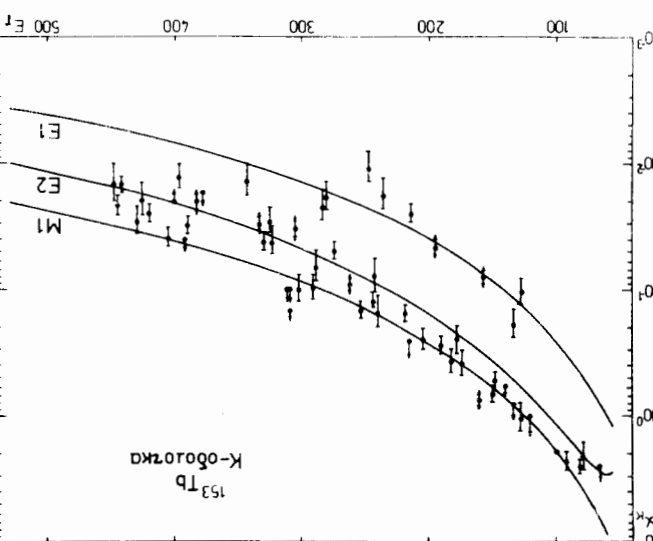


Рис. 3. Некоторые участки спектра конверсионных электронов.

ХАМН НИТЕХНОЛОГИИ СВК НА К - Н I<sub>γ</sub>-ОБОНОКАХ Н БРИОАПИ  
О МАРПИНДОБРОСТАХ  $\gamma$ -ЛПЕХОДОБРАД ПРЕАСТАБРНХИ Б ТАГН. 2.  
СПРЕХЕННЕ СРНХ ПЕЗЫИПБРАДОВ С ААРНПМН XАПМАУ Н АР. /3/  
ОГАПЫКНБАЕТ СНЦЕМАРННХЕКСЕ ЗАБРНПМН 200 кэВ.



Пн. 4. ЗАЯЕННА СВК НА К-ОБОНОКАЕ АНА ЛЕКОТОПБИХ  
ЛПЕХОДОБА В АРДЕ 153Tb.

3. ЗАЯЕННА СВНОД Н ЛЕТОГТЕН  
Н КО3ФИННЕХПИ СОТОДНН 153Tb  
ЛЕКОТОПБИХ  $\gamma$ -ЛПЕХОДОБ

ПНЧКОРОД 153Dy ( $7/2^-$ ) ОПЕДЕНЕНН 8/9/  
ЧИННПИ ОСНОДНХПИ СОТОДНН 153Tb ( $5/2^+$ ) Н МАР-

АТОМНХИХ ИЯРКОБ. ЛЕТОГТЕН ИПННЧАПИ НА ОСНОВЕ МОЛЮДН

Таблица 2  
Энергии, относительные интенсивности  $\gamma$ -лучей и ЭДК при распаде  $^{153}\text{Dy}$  ( $E_{\gamma} < 450$  кэВ).  
Коэффициенты внутренней конверсии и мультипольности  $\gamma$ -переходов в ядре  $^{153}\text{Tb}$ .

$\lambda/\text{кэВ}$	$I_{\gamma}$ $I_{\text{E}}$	$I_{\kappa}$	$I_L$	$I_{L_0}$	$I_{L_m}$	$\alpha_{\kappa}$ $\times 10^3$	$\delta L$	$\delta^2$
1	2	3	4	5	6	7	8	9
62,05	5,1±1,0	-	~1,5	~0,6	~0,6			
64,60	≤ 4	~10	~1,2					
70,73	{ 10,6	40±8	6,7±1,0	~0,8	-			
71,02		13±2	1,6±0,2	~0,8	-			
78,36	11,7±1,7	25±5	4±0,6	0,8±0,1	0,1±0,1	2137±528	M1+E2	0,042±0,010
80,77	1000±100	2510±230	379±40	50±6	26±3	2510±520	M1+E2	0,017±0,003
82,54	100±10	2120±200	457±50	53±6	107±10	21200±2650	M2	
92,97	95±10	220±25	26±2	4,0±0,5	2,4±0,3	2316±359	M1+E2	0,032±0,005
99,72	970±50	1806	241±25	25±3	8±1	1862	M1+E2	0,009±0,002
119,79	≤ 5	5±1	0,7±0,2			1862	M1+(E2)	
127,2	27,0±5,2	2,8±0,5				104±27	EL	
128,30	25,0±5,1	2/5	4,0±0,8	0,6±0,1		1080±298	M1+E2	0,05±0,002
132,86	26,0±4,1	5±1				192±49	EL	
135,36	≤ 5	4±1	0,6±0,1	≤ 0,2		>800	M1+E2	≤ 0,19
138,75	≤ 7	4±1				>570	M1+E2	
147,51	285±20	152±20	19±3	5,5±1,0	3,7±0,7	533±79	M1+E2	0,217±0,051
149,10	66±6	45±6	4,0±0,8	0,66±0,10	0,26±0,05	682±110	M1+E2	0,051±0,012
157,6	~7,7	0,6±0,1				~78	EL	
159,74	~6,7	5,0±0,8	0,3±0,0,05	≤ 0,05		~746	M1+E2	≤ 0,1
173,54	23±2	9±2				391±93	M1+E2	0,063±0,015

1	2	3	4	5	6	7	8	9
178,1	$3,5 \pm 0,5$	$0,9 \pm 0,2$				$257 \pm 68$	E2, M1+E2	
182,36	$27,0 \pm 3,1$	$10 \pm 2$	c	c		$370 \pm 85$	M1+E2	M1
185,04			$3,0 \pm 0,5$	$0,50 \pm 0,08$				E1
185,51	$\left\{ \begin{array}{l} 16,5 \\ 9 \end{array} \right.$		$0,30 \pm 0,05$				M1 (+E2)	
185,95			$5 \pm 1$				E2+M1	
188,10			$0,60 \pm 0,15$	$0,80 \pm 0,10$	$\approx 0,15$			(M1)
188,90			$1,5 \pm 0,3$		$\approx 0,2$		M1+E2	$0,07 \pm 0,03$
190,41			$72,0 \pm 5,0$	$20 \pm 3$	$3,0 \pm 0,5$	$0,40 \pm 0,08$	$\leq 0,16$	$278 \pm 46$
193,9			$\approx 32$	$1,5 \pm 0,2$			$\sim 47$	E1
204,35			$22,0 \pm 2,1$	$5,5 \pm 1,0$	$0,8 \pm 0,1$	$0,20 \pm 0,04$	$\approx 0,15$	$25 \pm 51$
213,71			$750 \pm 40$	$19 \pm 3$	$1,5 \pm 0,3$	$0,20 \pm 0,04$	$0,20 \pm 0,04$	$25 \pm 4$
215,50			$\leq 5$	$1,6 \pm 0,3$	$0,20 \pm 0,04$			E1
218,56			$110 \pm 6$	$17,0 \pm 2,5$	$2,5 \pm 0,5$		$\geq 260$	M1
235,5			$22,4 \pm 4,1$	$0,40 \pm 0,08$		$\leq 0,8$	$155 \pm 24$	M1+E2
240,50			$26,0 \pm 3,0$	$4,0 \pm 1,0^c$	$0,50 \pm 0,08$	$0,15 \pm 0,02$	$154 \pm 44$	E1
242,04			$16,5 \pm 2,8$	$1,3 \pm 0,3$	$\sim 0,25 \pm 0,05$	$0,10 \pm 0,05$	$154 \pm 44$	M1+E2
244,20			$317 \pm 14$	$39 \pm 6$	$7,0 \pm 1,0$	$1,3 \pm 0,3$	$\leq 0,7$	$123 \pm 10$
247,10			$44,3 \pm 8,1$	$0,5 \pm 0,1$				M1+E2
254,22			$645 \pm 31$	$34 \pm 15$	$10,0 \pm 1,5$	$1,30 \pm 0,15$	$0,50 \pm 0,10$	$146 \pm 24$
262,30			$\sim 60$	$5,5 \pm 1,0$			$\sim 92$	M1+E2
274,45			$543 \pm 24$	$27 \pm 4$	$< 7^c$	$\approx 0,8$	$\approx 0,3$	$E2(+M1)$
281,50			$7,4 \pm 1,6$	$0,14 \pm 0,02$			$50 \pm 8$	
283,15			$8,5 \pm 1,9$	$0,19 \pm 0,02$			$19 \pm 5$	E1
288,7			$I9,7 \pm 4,9$	$1,3 \pm 0,2^c$	$0,30 \pm 0,05$	$0,20 \pm 0,03$	$0,14 \pm 0,02$	$22 \pm 6$
290,6			$41,0 \pm 6,1$	$4 \pm 0,7$	$0,6^c$		$66 \pm 19$	E1
							$97 \pm 22$	M1
								$16 \pm 2$

Продолжение таблицы 2.

1	2	3	4	5	6	7	8	9
295,74	$\left\{ \begin{array}{l} 102 \pm 11 \\ 116 \pm 11 \end{array} \right.$	$2 \pm 0,3$	$0,22 \pm 0,03$	$\leq 0,05$			$M1+E2$	$\leq 0,5$
296,56		$0,6 \pm 0,1$					E1	
299,5	$6,5 \pm 1,2$	c						
302,5	$10,0 \pm 2,1$	$1,0 \pm 0,15$						
305,5	$7,6 \pm 1,5$	$0,25^c$						
308,8	$\leq 4$	$0,60 \pm 0,01$						
310,5	$\leq 2$	$0,20 \pm 0,04$						
312,3	$\leq 4$	$0,40 \pm 0,08$						
323,70	$116 \pm 19$	$5 \pm 1$	$\leq 0,64 \pm 0,08$					
324,92	$62 \pm 9$	$1,8 \pm 0,3$	$\leq 0,22 \pm 0,03$					
331,40	$9,6 \pm 2,1$	$0,40 \pm 0,07$						
334,3	$23,1 \pm 2,0$	$0,8^c$						
344,1	$6,8 \pm 1,3$	$0,10 \pm 0,02$						
350,9	$\left\{ \begin{array}{l} 4,9 \pm 1,8 \\ < 0,1 \end{array} \right.$	$0,25 \pm 0,05$						
351,3								
358,9	$2,6 \pm 1,0$	-						
363,60	$\left\{ \begin{array}{l} 23,2 \pm 2,1 \\ 30 \pm 4 \end{array} \right.$	$0,15 \pm 0,02$						
363,90		$0,90 \pm 0,20$						
371,5	$59 \pm 6$	$1,6 \pm 0,16$						
372,7		$0,4 \pm 0,04$						
375,7		$\leq 0,33$						
376,4		c						
378,0	$\leq 5$	-						
378,6	$\leq 4$		$0,07 \pm 0,02$					

			5	4	3	2	1	~20	~7	8	9
383,5	-15	0,3 <sup>c</sup>									
384,2	10	<0,1									
384,8		0,40±0,06									
389,6	103±5	3,2±0,5	4,+/- <sub>0,40±0,06</sub>					21±5			
392,0	5	0,20±0,04						>40			
397,4	7,2±1,2	0,10±0,02						I3±3			
400,4	18,6±3,7	0,50±0,07						27±7			
401,5	5	<0,1						<20			
405,5	40,5±5,6	1,6±0,15						29±7			
408,8	6,8±1,5	<0,1						<15			
410,7	5,9±2,0	0,08±0,02						MI			
411,1		0,15±0,03						E1			
415,6	71,7±5,0	c									
420,1	47±5,0	1,20±0,15									
424,6	4,8±1,6	c									
426,2	10,2±2,0	0,20±0,04						25±4			
429,8	21,0±3,5	0,6±0,1						MI+E2			
434,1	91,5±4,0	c						E2			
438,4	12,3±2,0	c						MI+E2, E2			
441,6	33,0±3,0	0,50±0,05						E2			
444,7	55,0±6,0	1,20±0,20						MI+E2, E2			
448,6	74,0±10,0	1,10±0,30						E2			

c) сложный

оболочкой и по аналогии с соседними ядрами. Не вызывают сомнений также спины и четности изомерного состояния 163,2 кэВ ( $11/2^-$ ) и уровня 80,7 кэВ ( $7/2^+$ ), связанного с состоянием 163,2 кэВ переходом типа M2. Значения спинов других состояний, предложенные в работах /1,3/, являются лишь наиболее вероятными, вытекающими из анализа мультипольностей  $\gamma$ -переходов, значений  $lg ft$  и характера разрядки уровней.

Фрагмент схемы распада  $^{153}\text{Dy} \rightarrow ^{153}\text{Tb}$ , содержащий низколежащие состояния (до 740 кэВ), заимствованный из работы /1/, представлен на рис. 5.

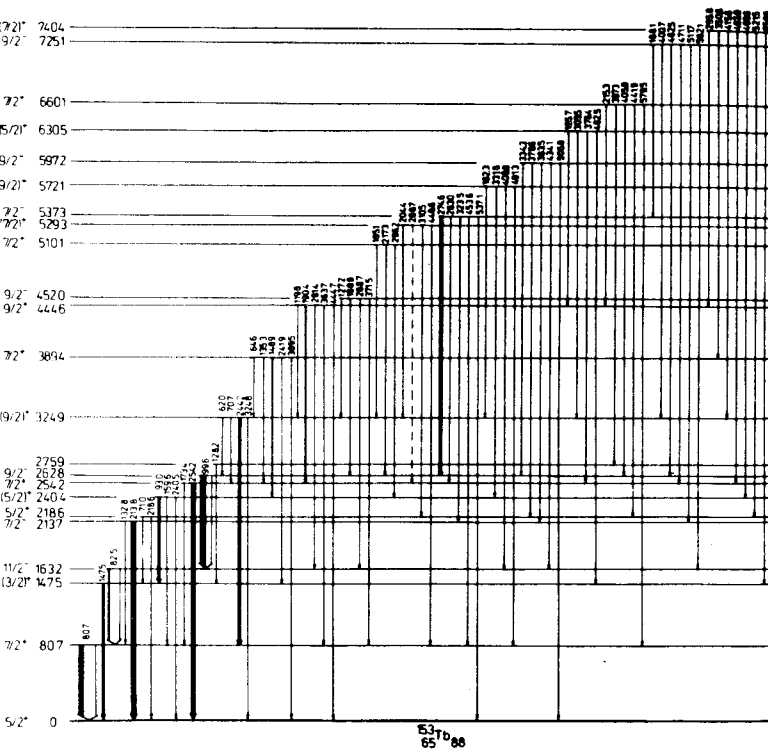


Рис. 5. Фрагмент схемы распада  $^{153}\text{Dy} \rightarrow ^{153}\text{Tb}$ .

На основе мультипольностей переходов можно прописать значения спинов и четностей состояниям с энергиями 254,2 кэВ ( $7/2^+$ ), 262,8 кэВ ( $9/2^-$ ), 537,3 кэВ ( $7/2^-$ ), 725,5 кэВ ( $9/2^-$ ) и 790,0 кэВ ( $7/2^+$ ). Возможные значения спинов других состояний перечислены в табл. 3. Значения  $9/2$  и  $7/2$  для спинов уровней 262,8 и 537,3 кэВ, соответственно, получаются также из анализа угловой корреляции наиболее интенсивного каскада (274,6 - 99,6) кэВ. При этом, если переход 99,6 кэВ типа  $M1+(0,9\pm 0,2)\%$   $E2$ , то  $\delta(99,6) > 0$  и переход 274,6 кэВ содержит  $(86\pm 5)\%$  или  $(6\pm 2)\%$  ( $\delta_y > 0$ ) квадрупольной примеси (рис.6).

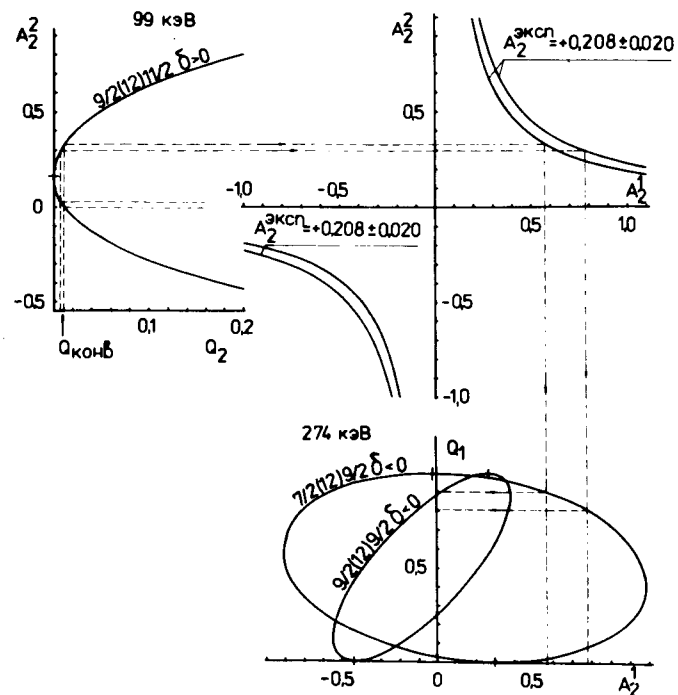


Рис. 6. График Арнса-Биденбека для каскада 99 - 274 кэВ.

Таблица 3

Значения спинов и четностей уровней  $^{153}\text{Tb}$

Энергия уровня кэВ	$I^\pi$ из КВК	$I^\pi$ из $\chi$ - $\chi$ угловых корреляций	$I^\pi$ -предлагаемые	Работа $/I^\pi$
0	$5/2^+$ a)	$5/2$ a)	$5/2^+$	$5/2^+$
80,8	$7/2^+$	$7/2$ a)	$7/2^+$	$7/2^+$
147,5	$3/2^+, 5/2^+, 7/2^+$	$(3/2)^+$	$(3/2)^+$	$3/2^+$
163,2	$11/2^-$ a)	$11/2$ a)	$11/2^-$	$11/2^-$
213,7	$5/2^-, 7/2^-$	$7/2$	$7/2^-$	$5/2, 7/2^-$
218,6	$5/2^+, 7/2^+$	—	$5/2^+$	$5/2, 7/2^+$
240,4	$5/2^+, 7/2^+$	$(5/2)$	$(5/2)^+$	$5/2^+$
254,2	$7/2^+$	$7/2$	$7/2^+$	$7/2^+$
262,8	$9/2^-$	$9/2$	$9/2^-$	$9/2^-$
275,9	—	—	—	$1/2 + 5/2$
324,9	$7/2^+, 9/2^+$	$7/2, 9/2$	$(9/2)^+$	$7/2^+$
389,4	$5/2^+, 7/2^+$	$(1/2)$	$7/2^+$	$5/2^+, 7/2^+$
444,6	$(5/2^+) 7/2^+ 9/2^+$	$9/2(5/2)$	$9/2^+$	$5/2^+, 7/2^+$
452,0	$9/2^-$	—	$9/2^-$	$9/2^-$
510,1	$7/2^+, 9/2^+$	$7/2$	$7/2^+$	$7/2^+$
529,3	$5/2^+, 7/2^+, 9/2^+$	—	$(1/2)^+$	$5/2^+, 7/2^+$
537,3	$7/2^-(5/2^-)$	$7/2$	$7/2^-$	$7/2^-$
572,1	$7/2^+, 9/2^+$	—	$(9/2^+)$	$9/2^+$
597,2	$7/2^-, 9/2^-$	—	$7/2^-, 9/2^-$	$(7/2)^-$
630,5	$3/2^+, 5/2^+, 7/2^+$	—	$7/2^+(5/2)^+$	—
660,1	$7/2^+(5/2^+)$	—	$7/2^+$	$5/2^+, 7/2^+$
725,5	$9/2^-$	$9/2, 5/2$	$9/2^-$	$9/2^-$
740,4	$5/2^+, 7/2^+$	$5/2, 7/2$	$(7/2)^+$	$7/2^+, 5/2^+$
790,0	$7/2^+$	—	$7/2^+$	$7/2^+$

a) Исходные данные

На присутствие большой доли примеси компоненты E2 в переходе 274,6 кэВ указывает также значение коэффициента  $a_k^{\text{ЭКСП.}}$  (274 кэВ), близкое к значению, соответствующему чистому E2-переходу.

Отрицательные значения коэффициентов  $A_2$  каскадов (296,2 – 213,8) кэВ и (323,7 – 213,8) кэВ, содержащих дипольный E1-переход 213,8 кэВ, указывают на то, что состояния 510,1 и 537,3 кэВ имеют одинаковые значения спинов, а именно 7/2, если спин состояния 213,8 кэВ 7/2, и 3/2, если спин этого состояния 5/2. Так как состоянию 537,3 кэВ приписан спин 7/2, вторая возможность исключается. При этом подтверждается дипольный E1 – характер перехода 296,2 кэВ. Переход 323,7 кэВ типа M1+E2 и, по-видимому, содержит значительную долю примеси компоненты E2: из значения коэффициента  $a_k$  (323,7)  $\approx (43 \pm 11) \cdot 10^{-3}$  следует, что эта примесь составляет больше 50%, а из соотношения  $(L_I + L_{II})/L_{III} \geq 14$  допускается лишь 31%. Значения коэффициентов функции угловой корреляции каскада (323,7 – 213,8) кэВ, при предположении чисто дипольного характера перехода 213,8 кэВ, определяют мультипольный состав перехода 323,7 кэВ как  $D+ \leq 14\%Q$  или  $D+ (22 \div 68)\%Q$  с  $\delta_\gamma < 0$ .

Каскад (471,1 – 254,2) кэВ связывает уровни 725,5 кэВ, 254,2 кэВ и основной. Спин и четность уровня 725,5 кэВ 9/2<sup>-</sup> определены на основе мультипольностей разряжающих переходов 562,1 кэВ и 462,6 кэВ. Дипольный характер переходов 471,1 кэВ (E1) и 254,2 кэВ (M1+10% E2) требует приписания уровню 254,2 кэВ  $I'' = 7/2$ . Значение коэффициента  $A_2$  каскада (471,1 – 254,2) кэВ допускает для спина уровня 725 кэВ кроме значения 9/2 также 5/2 ( $\delta(254) > 0$ ).

Уровню 444,6 кэВ в работах <sup>1,3/</sup> предлагаются значения спинов 5/2 или 7/2. Из корреляции каскада (190,4 – 254,2) кэВ при условии, что  $\delta^2(190) < 1$  (из КВК следует  $\delta^2(190) \approx 0,07$ ), значение 7/2 полностью исключается. Но допускается при этом кроме значения 5/2 также значение 9/2 (рис. 7). Если E1-переход

<sup>x)</sup> D и Q – дипольный и квадрупольный переходы, соответственно.

281,4 кэВ размещен в схеме уровней <sup>153</sup>Tb между состояниями 444,6 кэВ и 163,2 кэВ (11/2)<sup>1/</sup>, то значение 9/2 становится наиболее вероятным. В таком случае переход 444,7 кэВ должен быть типа E2, а не M1+E2, как это определялось из  $a_k$  в работе <sup>1/</sup>. Наши измерения интенсивности электронов внутренней конверсии на K-оболочке допускают обе возможности.

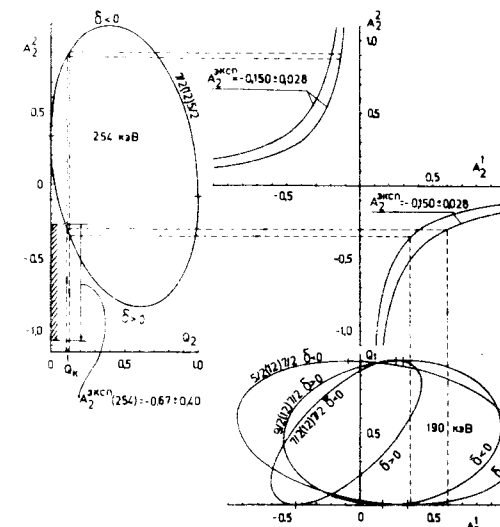


Рис. 7. График Арнсона-Виденбека для каскада 190 – 254 кэВ.

Состояниям 740,4 кэВ и 324,9 кэВ на основании мультипольностей переходов допускаются значения спинов: 5/2, 7/2 и 7/2, 9/2, соответственно. Из угловой корреляции каскада (415-244) кэВ удается выбрать две возможные последовательности этих значений, а именно 5/2 → 7/2 или 7/2 → 9/2. В обоих случаях переход 415 кэВ должен содержать около 15% примеси мультипольности E2. Но если учесть, что уровню 444,8 кэВ приписан спин 9/2, а переход 295,7 кэВ, связывающий этот уровень с уровнем 740,4 кэВ,

типа M1+E2, то последовательность  $7/2 \rightarrow 9/2$  является более вероятной. При этом  $\delta(244) < 0$ , если  $\delta(415) > 0$ , или наоборот,  $\delta(244) > 0$ , если  $\delta(415) < 0$ .

Корреляция каскада (82,5 - 80,7) кэВ использовалась для определения знака коэффициента  $\delta_\gamma$  перехода 80,7 кэВ. Если переход 82,5 кэВ не содержит значительной доли примеси высшей мультипольности, то  $\delta(80,7) > 0$ .

Гамма-переходы каскадов (149-98) кэВ и (93 - 147) кэВ связывают возбужденные состояния с энергиями 389,4 кэВ, 240,4 кэВ и 147,5 кэВ. В работах<sup>/1-3/</sup> на основе вероятностей заселения уровней  $^{153}\text{Tb}$  при электронном захвате  $^{153}\text{Dy}$  и мультипольностей  $\gamma$ -переходов уровню 147,5 кэВ предлагается приписать спин и четность  $3/2^+$  ( $lgft > 8,1$ ), а уровню 240,4 кэВ, соответственно,  $5/2$ . В этом случае уровню 389,4 кэВ на основании мультипольностей разряжающих его переходов можно приписать характеристики  $7/2$ . Приписанию указанных значений спинов всем трем рассматриваемым состояниям не противоречат также результаты наших измерений суммарной угловой корреляции каскадов 93 - (147+149) кэВ и корреляции тройного каскада 149 - (93) - 147 кэВ. При этом переходам 149 кэВ и 93 кэВ нужно приписать одинаковый, положительный знак коэффициентов  $\delta_\gamma$ . Последний вывод может являться дополнительным аргументом, подтверждающим предположение о том, что уровни 147,5 ( $3/2^+$ ), 240 ( $5/2^+$ ), 389,4 ( $7/2^+$ ) и, по-видимому, 572,0 кэВ ( $9/2^+$ ) принадлежат ротационной полосе состояния  $3/2^+[411]$ .

Принимая установленные значения спинов и четностей обсуждаемых уровней, можно, на основе мультипольностей  $\gamma$ -переходов (данные настоящей работы и работ<sup>/1-3/</sup>), определить характеристики ( $I''$ ) состояний 218,6 ( $5/2^+$ ), 529,3 ( $7/2^+$ ), 572,1 ( $9/2^+$ ) и 660,1 кэВ ( $7/2^+$ ).

Сравнение значений спинов и четностей, предложенных нами и авторами работы<sup>/1/</sup>, можно провести на основании табл.3, где приведены эти значения для всех рассматриваемых выше уровней. В табл.4 указаны гамма-переходы (типа M1+E2), для которых определены составы мультипольностей и знаки коэффициентов смешивания  $\delta_\gamma$ . Анализ структуры уровней  $^{153}\text{Tb}$  будет проведен в отдельной работе.

Таблица 4  
Мультипольности некоторых гамма-переходов  $^{153}\text{Tb}$

$I_i$ ( $E_f$ ) $I_f$	из КВК	из угловой корреляции	Знак $\delta_\gamma$
7/2 (80,7) 5/2	M + (1,7±0,1)% E2	-	+ + + + + -
5/2 (93,0) 3/2	M + (3,1±0,5)% E2	-	+ + + + + -
9/2 (99,6) 11/2	M + (0,9±0,2)% E2	-	+ + + + + -
3/2(147,5) 5/2	M + (17,8±3,6)% E2	-	+ + + + + -
7/2(148,9) 5/2	M + (4,8±1,1)% E2	-	+ + + + + -
9/2(190,4) 7/2	M + (6,5±2,7)% E2	$2 \pm (6,3 \pm 3)\%$ Q	$\delta(244) < 0$ если $\delta(415) > 0$ $\delta(244) > 0$ если $\delta(415) < 0$
9/2(244,2) 7/2	M + (24,2±3,4)% E2	-	+ + + + + -
7/2(254,2) 5/2	M + (10,6±2,0)% E2	-	+ + + + + -
7/2(274,6) 9/2	E2 + (M)	$2 \pm (86 \pm 5)\%$ Q	+ + + + + -
7/2(323,5) 7/2	M + <50% E2	$2 \leq 14\%$ Q или $2 + (22 \pm 68)\%$ Q	+ + + + + -
7/2(415,6) 9/2	M <sup>a</sup>	$2 \pm (15 \pm 7)\%$ Q	+ + + + + -

a) По данным работы /1/.  
b) См. текст.

В заключение авторы выражают глубокую благодарность И.И.Громовой и Н.А.Лебедеву за приготовление радиоактивных препаратов.

### Л и т е р а т у р а

1. К.Зубер, Ц.Вылов, И.И.Громова, Я.Зубер, Х.Г.Ортлепп, Н.А.Лебедев. Препринт ОИЯИ, Р6-8669, 1975.
2. В.Гнатович, К.Я.Громов, Ф.Н.Мухтасимов. Препринт ОИЯИ, Р6-2729, 1966.
3. B.Harmatz and T.H.Handley. Nucl. Phys., A191, 497 (1972).
4. Б.А.Аликов, М.Будзынски, Я.Ваврышук, К.Я.Громов, Р.Ион-Михай, Э.Крупа, Г.Лизурей, М.М.Маликов, Т.М.Муминов, В.И.Стегайлов, В.Таньска-Крупа, М.И.Фоминых, И.Холбаев, В.М.Цупко-Ситников. Препринт ОИЯИ, Р13-9608, Дубна, 1976.
5. Б.А.Аликов, М.Будзынски, Я.Ваврышук, В.Жук, Р.Ион-Михай, Э.Крупа, Г.Лизурей, М.М.Маликов, Т.М.Муминов, Я.Сажински, В.И.Стегайлов, В.Таньска-Крупа, В.И.Фоминых, И.Холбаев. Препринт ОИЯИ, Р13-9007, Дубна, 1976.
6. А.А.Абдуразаков, А.И.Ахмаджанов, К.Я.Громов, Т.А.Исламов, И.М.Камолходжаев, М.К.Прокофьев. Препринт ОИЯИ, 6-4363, Дубна, 1969.
7. Л.А.Вылова, В.А.Залите, Г.Исхаков, Ф.В.Левчановский, М.Потемпа, В.И.Приходько, Л.В.Ревенко, З.Стахура, В.М.Цупко-Ситников. ПТЭ, № 1, 1974 , стр. 64-67.
8. A.Rosen, C.Ekstrom, H.Nyqvist, K.E.Adelroth. Nucl. Phys., A154, 526 (1970).
9. K.E.Adelroth, H.Nyqvist, A.Rosen. Phys. Scr., V2, 96 (1970).

Рукопись поступила в издательский отдел  
16 августа 1976 года.